

# Mesure de la constante de Boltzmann

## 1 Principe de la mesure

Le but de la manipulation est d'estimer la valeur de la constante de Boltzmann par la mesure du bruit thermique (ou bruit Johnson) d'une résistance.

A l'aide du théorème fluctuation-dissipation appliqué à un conducteur ohmique, on peut montrer que la densité spectrale d'énergie des fluctuations de tension aux bornes de cette résistance s'écrit :

$$\frac{\langle u_R^2 \rangle}{\Delta f} = 4k_B T R \quad (1)$$

En pratique, on modélise ce bruit par un générateur de tension en série avec la résistance (Fig. 1). La mesure de la densité spectrale d'énergie permet alors de remonter à la valeur de la constante de Boltzmann.

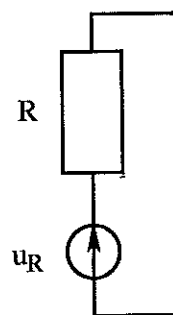


FIG. 1 – Modélisation du bruit Johnson d'une résistance :  $\langle u_R^2 \rangle / \Delta f = 4k_B T R$

## 2 Réalisation de la mesure

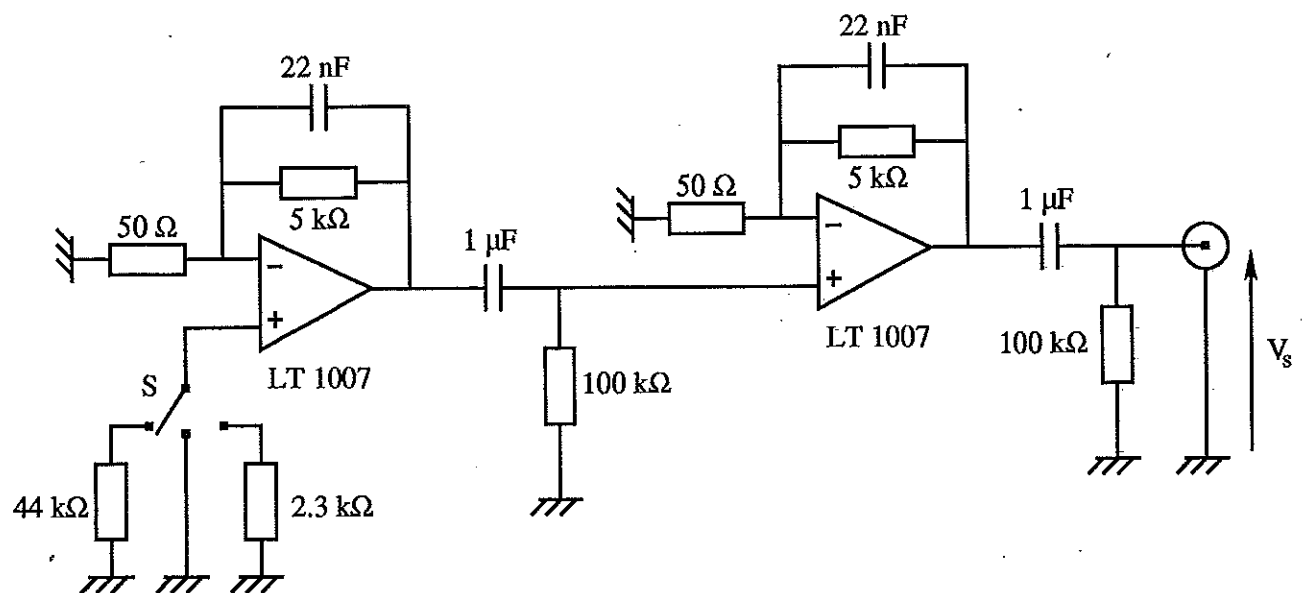


FIG. 2 – Amplificateur faible bruit à 2 étages

Pour rendre la mesure du bruit Johnson possible, il convient d'amplifier fortement le signal. Le circuit électronique utilisé est donc un ampli de gain important ( $10^4$ ) à faible bruit (Fig. 2).

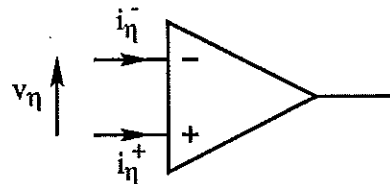


FIG. 3 – Modélisation du bruit des AO

Pour tenir compte des imperfections des AO, on utilise un modèle avec un bruit en tension  $v_\eta$  sur l'entrée différentielle, et un bruit en intensité  $i_\eta^\pm$  sur chaque borne d'entrée (Fig. 3). Ces différents bruits sont décorélés. Les AO utilisés (LT 1007) ont les caractéristiques constructeurs suivantes à  $1kHz$ :  $\langle v_\eta^2 \rangle^{1/2} \simeq 2.5nV/\sqrt{Hz}$ ,  $\langle i_\eta^{\pm 2} \rangle^{1/2} \simeq 0.6pA/\sqrt{Hz}$ .

Le calcul de  $V_s$  donne :

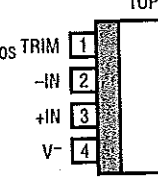
$$\frac{\langle V_s^2 \rangle}{\Delta f} = G^2 (\langle v_\eta^2 \rangle + R^2 \langle i_\eta^{\pm 2} \rangle + 4k_B T R) \quad (2)$$

où  $G$  est le gain total de l'ampli ( $10^4$  pour des fréquences de quelques centaines de Hz),  $R$  la résistance connectée à l'entrée. En utilisant les 3 résistances possibles (0, 2.3 et  $44k\Omega$ ), on peut estimer les 3 termes de cette équation, et ainsi remonter à  $k_B$ .

**ABSOLUTE MAXIMUM RATINGS**

Supply Voltage	$\pm 22V$
Input Voltage	Equal to Supply Voltage
Output Short Circuit Duration	Indefinite
Differential Input Current (Note 5)	$\pm 25mA$
Operating Temperature Range	$0^{\circ}C$ to $70^{\circ}C$
Storage Temperature Range	
All Devices	$-65^{\circ}C$ to $150^{\circ}C$
Lead Temperature (Soldering, 10 sec.)	300°C

**PACKAGE/ORDER INFORMATION**

TOP VIEW	ORDER PART NUMBER
	LT1007CS8 LT1037CS8
S8 PACKAGE 8-LEAD PLASTIC SOIC LT1007CS8-PO01	PART MARKING
	1007 1037

**ELECTRICAL CHARACTERISTICS**  $V_S = \pm 15V$ ,  $T_A = 25^{\circ}C$ , unless otherwise noted.

2

SYMBOL	PARAMETER	CONDITIONS	LT1007C LT1037C			UNITS
			MIN	TYP	MAX	
$V_{OS}$	Input Offset Voltage	(Note 1)		20	60	$\mu V$
$\Delta V_{OS}/\Delta t_{Time}$	Long Term Input Offset Voltage Stability	(Notes 2 and 3)		0.2	1.0	$\mu V/\text{Mo}$
$I_{OS}$	Input Offset Current			12	50	nA
$I_B$	Input Bias Current			$\pm 15$	$\pm 55$	nA
$\epsilon_n$	Input Noise Voltage	0.1Hz to 10Hz (Note 3)		0.06	0.13	$\mu V_{p-p}$
	Input Noise Voltage Density	$f_0 = 10\text{Hz}$ (Note 3) $f_0 = 1000\text{Hz}$ (Note 3)		2.8	4.5	$nV/\sqrt{\text{Hz}}$
		$f_0 = 10\text{Hz}$ (Note 3) $f_0 = 1000\text{Hz}$ (Note 3)		2.5	3.8	$nV/\sqrt{\text{Hz}}$
$I_n$	Input Noise Current Density	$f_0 = 10\text{Hz}$ (Note 3) $f_0 = 1000\text{Hz}$ (Note 3)		1.5	4.0	$pA/\sqrt{\text{Hz}}$
				0.4	0.6	$pA/\sqrt{\text{Hz}}$
	Input Resistance—Common Mode			5		$G\Omega$
	Input Voltage Range		$\pm 11.0$	$\pm 12.5$		V
CMRR	Common Mode Rejection Ratio	$V_{CM} = \pm 11V$	110	126		dB
PSRR	Power Supply Rejection Ratio	$V_S = \pm 4V$ to $\pm 18V$	106	126		dB
AvOL	Large Signal Voltage Gain	$R_L \geq 2k\Omega$ , $V_O = \pm 12V$	5.0	20.0		$V/\mu V$
		$R_L \geq 1k\Omega$ , $V_O = \pm 10V$	3.5	16.0		$V/\mu V$
		$R_L \geq 600\Omega$ , $V_O = \pm 10V$	2.0	12.0		$V/\mu V$
Vout	Maximum Output Voltage Swing	$R_L \geq 2k\Omega$	$\pm 12.5$	$\pm 13.5$		V
		$R_L \geq 600\Omega$	$\pm 10.5$	$\pm 12.5$		V
SR	Slew Rate	$R_L \geq 2k\Omega$	1.7	2.5		$V/\mu s$
		$A_{VCL} \geq 5$	11	15		$V/\mu s$
GBW	Gain-Bandwidth Product	$f_0 = 100\text{kHz}$ (Note 4)	5.0	8.0		MHz
		$f_0 = 10\text{kHz}$ (Note 4), ( $A_{VCL} \geq 5$ )	45	60		MHz
Zo	Open Loop Output Resistance	$V_O = 0$ , $I_O = 0$		70		$\Omega$
Pd	Power Dissipation	LT1007		80	140	mW
		LT1037		85	140	mW

# LT1007CS8/LT1037CS8

## ELECTRICAL CHARACTERISTICS

$V_S = \pm 15V$ ,  $0^\circ C \leq T_A \leq 70^\circ C$ , unless otherwise noted.

SYMBOL	PARAMETER	CONDITIONS	MIN	LT1007C TYP	LT1037C TYP	MAX	UNITS	
$V_{OS}$	Input Offset Voltage	(Note 1)		35	110		$\mu V$	
$\Delta V_{OS}$ $\Delta T_{Temp}$	Average Input Offset Drift	(Note 6)		0.3	1.0		$\mu V/^\circ C$	
$I_{OS}$	Input Offset Current			15	70		$nA$	
$I_B$	Input Bias Current			$\pm 20$	$\pm 75$		$nA$	
	Input Voltage Range			$\pm 10.5$	$\pm 11.8$		$V$	
CMRR	Common Mode Rejection Ratio	$V_{CM} = \pm 10.5V$		106	120		$dB$	
PSRR	Power Supply Rejection Ratio	$V_S = \pm 4.5V$ to $\pm 18V$		102	120		$dB$	
$A_{VOL}$	Large Signal Voltage Gain	$R_L \geq 2k\Omega$ , $V_O = \pm 10V$ $R_L \geq 1k\Omega$ , $V_O = \pm 10V$		2.5	18.0		$V/\mu V$	
$V_{OUT}$	Maximum Output Voltage Swing	$R_L \geq 2k\Omega$		2.0	14.0		$V/\mu V$	
$P_d$	Power Dissipation			$\pm 12.0$	$\pm 13.6$		$V$	
						90	160	$mW$

The ● denotes the specifications which apply over full operating temperature range.

**Note 1:** Input Offset Voltage measurements are performed by automatic test equipment approximately 0.5 seconds after application of power.

**Note 2:** Long Term Input Offset Voltage Stability refers to the average trend line of Offset Voltage vs Time over extended periods after the first 30 days of operation. Excluding the initial hour of operation, changes in  $V_{OS}$  during the first 30 days are typically  $2.5\mu V$ .

**Note 3:** This parameter is tested on a sample basis only.

**Note 4:** This parameter is guaranteed by design and is not tested.

**Note 5:** The inputs are protected by back-to-back diodes. Current limiting resistors are not used in order to achieve low noise. If differential input voltage exceeds  $\pm 0.7V$ , the input current should be limited to 25mA.

**Note 6:** The Average Input Offset Drift performance is within the specifications unnullled or when nulled with a pot having a range of  $8k\Omega$  to  $20k\Omega$ .